

بِسْمِ اللّٰهِ الرَّحْمٰنِ الرَّحِيْمِ
سُرْرَمَدْ



دانشکده برق و رباتیک

گروه کنترل

پیش‌بینی سری‌های زمانی آشوبناک در فضای فاز بازسازی شده به روش‌های غیرخطی

دانشجو : محمد رضا شفیعی چافی

استاد راهنما : دکتر حسین قلی زاده نرم

پایان نامه جهت اخذ درجه کارشناسی ارشد
دی ۱۳۹۱

تقدیم به

پدر و مادر عزیزم

سخن اول

خداآوند را بخاطر همه نعمتهايى كه به اين بندء ناچيز خود عطا فرموده سپاس مى گويم و از کوتاهى خود در بندگى او پوزش مى طلبم....

از پدر و مادر عزيزم بخاطر همه فداکارى ها و زحماتى كه تا کنون برای اين حقير متحمل شده اند قدردانى مى نمایم و اميدوارم كه بتوانم قدر شناس زحمات ايشان باشم.....

از جناب آقای دکتر قلی زاده، كه مرا در طی مراحل مختلف اين پایان نامه هدایت و راهنمایي نمودند بسيار سپاسگزارم. اگر چه بموجب فضایل اخلاقی بي شمار ايشان توشه خود را از شاگردی شان بسيار فراتر از اين پایان نامه مى دانم....

از همکاري استاتيد برجسته پروفسور هنرى آباريانل از دانشگاه كاليفرنيا، پروفسور هنرى چونگ از دانشگاه هونگكونگ و پروفسور جون ژنگ از دانشگاه سان یوت سن و دکتر غلامرضا داودى از دانشگاه علوم پزشكى تهران كه با ارائه نظرات و پيشنهادات و ارسال مجموعه مقالات ما را در پيشبرد اين پایان نامه ياري نمودند، بسيار سپاسگزارم....

از داوران محترم، جناب آقای دکتر اکبرزاده و جناب آقای دکتر طوسیان كه زحمت بازخوانی و داوری اين مجموعه را به عهده داشتند و با ارائه نظرات ارزشمندشان ما را در بهبود اين پایان نامه ياري نمودند صميمانه تشکر و قدردانى مى نمایم....

همچنین از خواهر عزيزم مهندس زهرا شفيعي چافى كه در تهيه و تنظيم و ويراستاري اين پایان نامه مرا ياري نمودند کمال تشکر و قدردانى را دارم....

از دوستان ارجمند، آقایان محمد هاشم زاده، ايمان خسرويان، منصور شريفى، سعيد خراشاديزاده، حميد بهزاد، محمد برادران، امير نگهداري و رضا ميقاني كه در اين مدت سعادت همنشيني با ايشان را در خوابگاه دانشجوبي داشته ام، صميمانه سپاسگزارم....

همچنین از کمکها و راهنمایيهای همه معلمان، استاتيد و ساير بزرگوارانی كه در طول زندگى خود چگونه زیستن را از ايشان آموخته ام، بسيار سپاسگزارم....

چکیده

سری زمانی دنباله‌ای از اعداد است که با نمونه برداری منظم از خروجی مشاهده شده‌ی یک سیستم بدست می‌آید. از میان انواع گوناگون سری‌های زمانی، سری‌های زمانی آشوبی اغلب در پدیده‌های طبیعی یافت می‌شوند. حساسیت بیش از حد سیستم‌های آشوبی به شرایط اولیه سبب بروز مشکل افق پیش‌بینی در پیش‌بینی بلند مدت و دقت پیش‌بینی در پیش‌بینی کوتاه مدت برای روش‌های مذکور شده است. بنابراین محور فعالیت‌های انجام شده در این پایان نامه بر اصلاح دقت در پیش‌بینی کوتاه مدت و افزایش افق پیش‌بینی در عین دقت مناسب، در پیش‌بینی بلند مدت قرار گرفته است. تلاش‌های انجام شده در این راستا منجر به ارائه دو روش در پیش‌بینی کوتاه مدت و چهار روش در پیش‌بینی بلند مدت شده است. بمنظور حصول اطمینان و بررسی بیشتر از روش‌های مطرح شده برای پیش‌بینی سری‌های زمانی فوق آشوبی قلب و HRV نیز استفاده شد.

سرانجام به منظور نشان دادن یکی دیگر از کاربردهای عملی روش‌های پیشنهادی در زمینه های پزشکی از آن برای طبقه بندی ۵ دسته از آریتمی های قلبی استفاده شد که نتایج حاصله بیانگر توانمندی روش پیشنهادی در تفکیک ضربانات قلبی بر اساس ویژگی‌های نوظهور فازی است.

کلمات کلیدی : آشوب – سری زمانی – پیش‌بینی – بازسازی فضای فاز

فهرست مطالب

صفحه

عنوان

ج	فهرست جداول ها
د	فهرست شکل ها
۱	فصل ۱ - مقدمه
۱	۱-۱ سری زمانی
۱	۲-۱ سری زمانی آشوبی
۲	۱-۲-۱ بررسی اثر حساسیت :
۳	۲-۲-۱ بررسی اثر حضور نمای لیاپانوف مثبت:
۳	۱-۲-۱ تحلیل طیفی :
۵	۳-۱ پیش بینی سری های زمانی:
۵	۴-۱ بازسازی فضای فاز
۸	۱-۴-۱ تأخیر زمانی
۹	۲-۴-۱ بعد جاسازی
۱۱	۵-۱ روش همانندی یا نزدیکترین همسایه:
۱۲	۶- روش تقریب خطی
۱۴	۷-۱ اهداف کلی پایان نامه
۱۴	۸-۱ ساختار پایان نامه
۱۵	پیشینه تحقیق
۱۶	فصل ۲ - پیشینه تحقیق
۲۰	فصل ۳ - روشهای پیشنهادی در پیش بینی سری های زمانی
۲۰	۱-۳ مقدمه
۲۰	۲-۳ پیش بینی کوتاه مدت :
۲۰	۱-۲-۳ روش فازی برخط :
۲۵	۲-۲-۳ روش فازی حافظه دار :
۲۸	۳-۳ پیش بینی بلند مدت :
۲۸	۱-۳-۳ روش نزدیکترین همسایه اصلاح شده :
۳۳	۲-۳-۳ روش نزدیکترین همسایه اصلاح شده با کمک روش عصبی:
۳۷	۳-۳-۳ روش تقریب غیرخطی
۴۰	۴-۳-۳ روش نزدیکترین همسایه اصلاح شده با کمک تبدیل موجک
۴۶	فصل ۴ - تفکیک آریتمی و پیش بینی سری زمانی قلب

۴۶	- قلب.....	۱-۴
۴۶	- مرواری بر الکتروفیزیولوژی قلب.....	۲-۴
۴۶	- جریانات الکتریکی قلب.....	۱-۲-۴
۴۷	- انتشار جریان های الکتریکی در اطراف قلب.....	۲-۲-۴
۴۷	- سیستم تولید و انتقال ایمپالیس در داخل قلب.....	۳-۲-۴
۴۹	- اختلال در تولید ایمپالس در قلب.....	۴-۲-۴
۴۹	- الکتروکاردیوگرافی.....	۳-۴
۴۹	- معرفی.....	۱-۳-۴
۵۰	- شکل ECG و نامگذاری اجزای آن.....	۲-۳-۴
۵۱	- آریتمی.....	۴-۴
۵۱	- چند نمونه از آریتمی ها.....	۱-۴-۴
۵۳	- پیش بینی سری های زمانی زیستی.....	۵-۴
۵۴	- پیش بینی کوتاه مدت سری زمانی ECG.....	۱-۵-۴
۵۶	- پیش بینی کوتاه مدت سری زمانی HRV.....	۲-۵-۴
۵۸	- پیش بینی بلند مدت سری زمانی ECG.....	۳-۵-۴
۵۹	- پیش بینی بلند مدت سری زمانی HRV.....	۴-۵-۴
۶۱	- روش پیش بینی تک گام در تفکیک آریتمی های قلبی	۴-۶
۶۱	- روش پیشنهادی	۱-۶-۴
۶۲	- نتایج حاصل از شبیه سازی ها	۲-۶-۴
۶۵	فصل ۵ - نتیجه گیری و ارایه پیشنهادات	
۶۵	- نتیجه گیری:.....	۱-۵
۶۶	- پیشنهادات.....	۲-۵
۶۹	مراجع.....	
۷۲	واژه نامه فارسی به انگلیسی	
۷۴	واژه نامه انگلیسی به فارسی	

فهرست جدول‌ها

صفحه

عنوان

جدول ۱-۳ مقایسه میان نتایج پیش‌بینی تک گام سری زمانی لورنر توسط روش فازی برخط و دو روش مبتنی بر شبکه عصبی ۲۵
جدول ۲-۳ مقایسه خطای حاصل از پیش‌بینی سری زمانی لورنر میان روش فازی حافظه دار و سه روش مبتنی بر شبکه عصبی ۲۷
جدول ۳-۳ مقایسه میان خطای پیش‌بینی بلند مدت (۷۰۰ نقطه) سری زمانی روسler توسط دو روش تقریب خطی و نزدیکترین همسایه اصلاح شده به کمک شبکه عصبی ۳۷
جدول ۴-۳ مقایسه میان خطای پیش‌بینی بلند مدت (۷۰۰ نقطه) سری زمانی روسler توسط دو روش تقریب خطی و تقریب غیرخطی ۳۹
جدول ۵-۳: مقدار بعد جاسازی و تاخیر زمانی محاسبه شده برای سری زمانی ناشی از ضرایب موجک. ۴۳
جدول ۶-۳ مقایسه میان خطای پیش‌بینی بلند مدت سری زمانی روسler توسط دو روش تقریب خطی ونزدیکترین همسایه اصلاح شده به کمک تبدیل موجک ۴۴
جدول ۱-۴ سرعت تولید ضربان در بخش‌های مختلف بر حسب ضربان بر دقیقه ۴۹
جدول ۲-۴ بررسی عوامل تاثیر گذار در دقت پیش‌بینی سری زمانی لورنر توسط روش فازی حافظه دار ۵۶
جدول ۳-۴ صحت روش پیشنهادی برای هر پنج نوع آریتمی‌ها با ویژگی‌های فازی ۶۲
جدول ۴-۴ میزان اختصاصی بودن روش پیشنهادی برای هر پنج نوع آریتمی‌ها با ویژگی‌های فازی ۶۲
جدول ۵-۴ میزان حساسیت روش پیشنهادی برای هر پنج نوع آریتمی‌ها با ویژگی‌های فازی ۶۲
جدول ۶-۴ مقایسه روش انجام شده در این تحقیق با سایر مقالات ۶۳

فهرست شکل‌ها

عنوان	صفحه
شکل ۱-۱: سری زمانی لورنز به ازای دو شرایط اولیه‌ی بسیار نزدیک به هم	۲
شکل ۱-۲: کلیه‌ی نماهای لیاپانوف مربوط به سیستم لورنز	۳
شکل ۱-۳: طیف شدت متناظر با سری زمانی لورنز	۴
شکل ۱-۴: طیف شدت مربوط تابع $y_t = \sin 50\pi t + \sin(120\pi t)$	۴
شکل ۱-۵: جاذب آشوبی لورنز و مولفه‌های آن بر حسب زمان	۶
شکل ۱-۶: بازسازی جاذب آشوبی لورنز توسط مختصات تاخیری	۷
شکل ۱-۷: بازسازی جاذب آشوبی لورنز توسط مختصات مشتقی	۷
شکل ۱-۸: روش نزدیکترین همسایه	۱۲
شکل ۱-۹: ساختار کلی سیستم مورد بررسی	۲۱
شکل ۲-۱: نحوی آرایش ورودی که توسط بخش آفلاین انجام می‌شود.	۲۲
شکل ۳-۱: الگوریتم بخش فازی برخط که شامل دو بخش بهنگام ساز و پیشگو می‌باشد.	۲۳
شکل ۴-۱: پیش‌بینی تک گام سری زمانی لورنز توسط روش فازی برخط	۲۴
شکل ۵-۱: پیش‌بینی تک گام سری زمانی روسler توسط روش فازی برخط	۲۴
شکل ۶-۱: پیش‌بینی تک گام سری زمانی لورنز توسط روش فازی حافظه دار	۲۷
شکل ۷-۱: پیش‌بینی تک گام سری زمانی روسler توسط روش فازی حافظه دار	۲۷
شکل ۸-۱: الگوریتم روش نزدیگترین همسایه‌ی اصلاح شده	۳۰
شکل ۹-۱: پیش‌بینی بلند مدت سری زمانی لورنز در شرایطی که تعداد نقاط جاذب بسیار کم انتخاب شده باشد. الف - پیش‌بینی سری به روش نزدیکترین همسایه اصلاح شده. ب - پیش‌بینی توسط روش استاندارد.	۳۱
شکل ۱۰-۱: پیش‌بینی بلند مدت سری زمانی روسler در شرایطی که تعداد نقاط جاذب بسیار کم انتخاب شده باشد. الف - پیش‌بینی سری به روش نزدیکترین همسایه اصلاح شده. ب - پیش‌بینی توسط روش استاندارد.	۳۱
شکل ۱۱-۱: پیش‌بینی بلند مدت سری زمانی آشوبی لورنز در شرایط بازسازی غلط فضای فاز. الف - روش نزدیکترین همسایه اصلاح شده. ب - روش استاندارد.	۳۲
شکل ۱۲-۱: پیش‌بینی بلند مدت سری زمانی آشوبی روسler در شرایط بازسازی غلط فضای فاز. الف - روش نزدیکترین همسایه اصلاح شده. ب - روش استاندارد.	۳۲
شکل ۱۳-۱: الگوریتم روش نزدیکترین همسایه و روش عصبی	۳۵
شکل ۱۴-۱: پیش‌بینی بلند مدت سری زمانی آشوبی لورنز که توسط روش نزدیکترین همسایه‌ی اصلاح شده به همراه شبکه‌ی عصبی	۳۶

شکل ۱۵-۳: پیش بینی بلند مدت سری زمانی آشوبی روسler که توسط روش نزدیکترین همسایه‌ی اصلاح شده به همراه روش شبکه‌ی عصبی	۳۶
شکل ۱۶-۳: پیش بینی بلند مدت سری زمانی آشوبی روسler به روش تقریب غیرخطی	۳۸
شکل ۱۷-۳: پیش بینی بلند مدت سری زمانی آشوبی روسler به روش تقریب غیرخطی	۳۹
شکل ۱۸-۳: الگوریتم روش نزدیکترین همسایه اصلاح شده به کمک تبدیل موجک	۴۱
شکل ۱۹-۳: محاسبه‌ی بعد ناشی از ضرایب موجک سری زمانی لورنز توسط الگوریتم گرسبرگر و پروکاسیا	۴۲
شکل ۲۰-۳: نمودار تغییرات شبکه شکل ۱۹-۳ نسبت به تغییرات بعد جاسازی	۴۲
شکل ۲۱-۳: پیش بینی بلند مدت سری زمانی آشوبی لورنز که توسط روش نزدیکترین همسایه اصلاح شده به کمک تبدیل موجک	۴۳
شکل ۲۲-۳: پیش بینی بلند مدت سری زمانی آشوبی روسler که توسط روش نزدیکترین همسایه‌ی روش نزدیکترین همسایه اصلاح شده به کمک تبدیل موجک	۴۴
شکل ۱-۴: ساختار قلب	۴۶
شکل ۲-۴: انتشار جریان الکتریکی در قلب و قفسه سینه	۴۷
شکل ۳-۴: سیستم انتقال پالس الکتریکی در عضله‌ی قلب	۴۸
شکل ۴-۴: تاخیر زمانی انتقالی ایمپالس در عضله‌ی قلب بر حسب صدم ثانیه	۴۸
شکل ۵-۴: شکل ECG نرمال	۵۰
شکل ۶-۴: شکل ECG به همراه نامگذاری اجزای آن	۵۰
شکل ۷-۴: یک نمونه از الکترکاردیوگرافی آریتمی‌های بررسی شده در این تحقیق. الف - بلوک شاخه‌ای راست. ب - بلوک شاخه‌ای چپ. ج - ضربان زودرس بطئی. د - پس ریتم. ۵ - ضربان سینوسی نرمال	۵۲
شکل ۸-۴: سری زمانی ناشی از قلب یک انسان که در آن فاصله‌ی R-R نشان داده شده است	۵۳
شکل ۹-۴: پیش بینی تک گام سری زمانی قلب توسط روش فازی حافظه دار	۵۴
شکل ۱۰-۴: پیش بینی تک گام سری زمانی قلب توسط روش فازی برخط	۵۴
شکل ۱۱-۴: خطای حاصل از پیش بینی تک گام سری زمانی قلب توسط روش فازی برخط	۵۵
شکل ۱۲-۴: پیش بینی تک گام سری زمانی HRV توسط روش فازی حافظه دار	۵۶
شکل ۱۳-۴: پیش بینی تک گام سری زمانی HRV توسط روش فازی برخط	۵۷
شکل ۱۴-۴: خطای حاصل از پیش بینی تک گام سری زمانی HRV توسط روش فازی برخط	۵۷
شکل ۱۵-۴: پیش بینی بلند مدت سری زمانی ECG توسط روش نزدیکترین همسایه اصلاح شده	۵۸
شکل ۱۶-۴: پیش بینی بلند مدت سری زمانی ECG توسط روش نزدیکترین همسایه اصلاح شده به کمک تبدیل موجک	۵۸
شکل ۱۷-۴: پیش بینی بلند مدت سری زمانی HRV توسط روش نزدیکترین همسایه توسعه یافته	۵۹
شکل ۱۸-۴: پیش بینی بلند مدت سری زمانی HRV توسط روش نزدیکترین همسایه توسعه یافته به کمک تبدیل موجک	۶۰

فصل ۱ - مقدمه

فصل ۱ - مقدمه

۱-۱ سری زمانی

سری زمانی یک سلسله از اعداد است که به وسیله‌ی نمونه برداری منظم از خروجی مشاهده شده‌ی یک سیستم بدست می‌آید و به عنوان یک منبع مفید برای کشف و مطالعه‌ی رفتار یک سیستم، اعم از تصادفی، آشوبی^۱ و قطعی^۲ محسوب می‌شود [۱]. از میان انواع گوناگون سری‌های زمانی، سری‌های آشوبی به سری‌هایی اطلاق می‌شود که اغلب در پدیده‌های طبیعی یافت می‌شوند [۲].

۱-۲ سری زمانی آشوبی

تحول زمانی نامنظم و غیرقابل پیش‌بینی برخی از سیستم‌های غیرخطی آشوب نامیده می‌شود. ویژگی اصلی آشوب این است که چنین سیستم‌هایی رفتار قبلی خود را حتی به صورت تقریبی نیز تکرار نمی‌کنند^۳. از دیگر ویژگی‌های چنین سیستم‌هایی می‌توان وابستگی شدید به شرایط اولیه و محدود بودن^۴ (به این معنی که هیچ کدام از متغیرهای حالت در یک سیستم آشوبی به سمت بی‌نهایت میل نخواهد کرد) را نام برد. روش‌های گوناگونی برای اثبات آشوبی بودن یک سری زمانی وجود دارد که عبارتند از: الف- بزرگترین نمای لیاپانوف^۵ مثبت: به عنوان معیاری برای نشان دادن حساسیت شدید سیستم‌های آشوبی به شرایط اولیه یا اثر پروانه‌ای^۶ بکار می‌رود. [۳].

ب- طیف فرکانسی گسترده و شبیه به نویز: البته از آنجا که طیف فرکانسی سیگنال‌های آشوبی و نویزی در مقایسه با سیگنال‌های دوره‌ای گسترده بوده لذا نمی‌توان تنها از طریق مشاهده‌ی طیف فرکانسی در مورد آشوبی بودن و یا نویزی بودن سیگنال مولد طیف قضاوت نمود. [۴]

ج- ابعاد غیر صحیح(فراكتالی): داشتن بعد غیر صحیح نشان‌دهنده‌ی حضور آشوب در سیستم مورد بررسی و شگفت بودن رباينده‌ی^۷ آن است. [۵]

یک نمونه از سیستم‌های آشوبی سیستمی است که توسط لورنزو^۸ برای بیان رابطه میان تغییرات دما و حرکت همرفتی توسط دستگاه معادلات (۱-۱) بیان شده است.

$$\begin{aligned} \frac{dx}{dt} &= -\sigma x + \sigma y \\ \frac{dy}{dt} &= -xy + rx - y \end{aligned} \tag{1-1}$$

¹ Chaotic

² Deterministic

³ Aperiodic

⁴ Bounded

⁵ Largest Lyapunov Exponent

⁶ Butterfly Effect

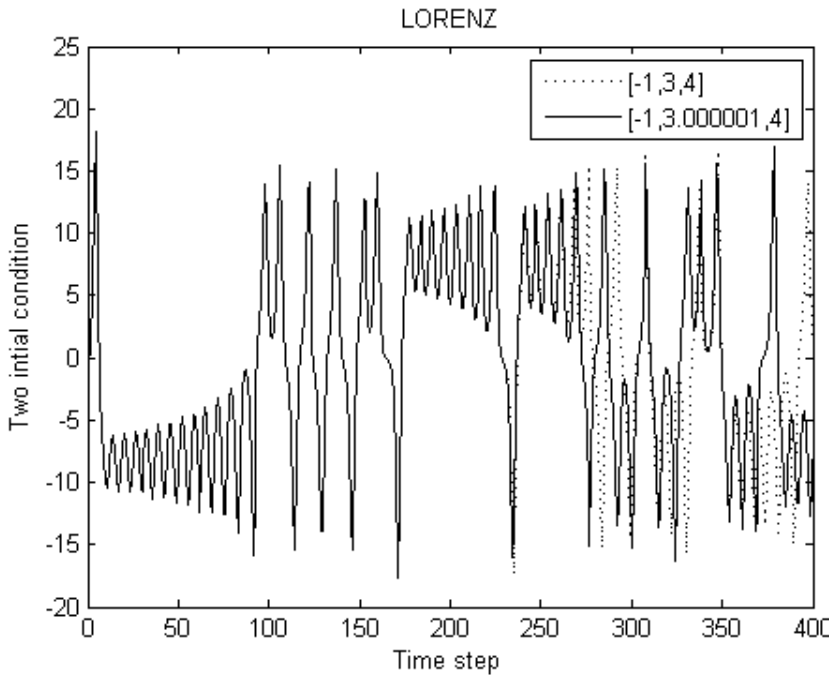
⁷ Strange Attractor

⁸ Lorenz

$$\frac{dz}{dt} = xy - bz$$

-۱-۲-۱ برسی اثر حساسیت :

دستگاه معادلات (۱-۱) را دو بار با دو شرایط اولیه‌ی بسیار نزدیک به هم [۴ و ۳] و [۱۰۰۰۰/۳ و ۱] حل شده که نتایج آن در شکل (۱-۱) نشان داده شده است.



شکل ۱-۱ سری زمانی لورنز به ازای دو شرایط اولیه‌ی بسیار نزدیک به هم

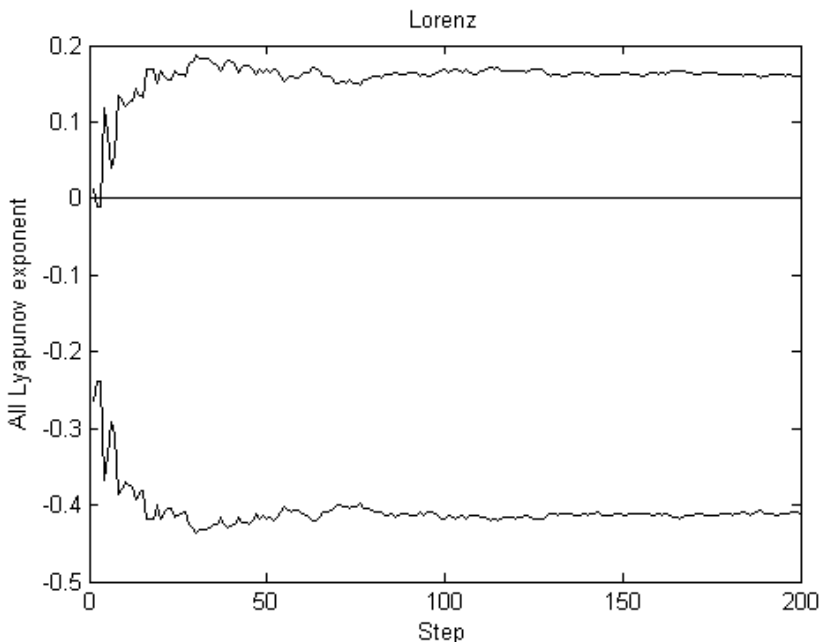
همان‌طور که در شکل (۱-۱) مشاهد شد با وجود شرایط اولیه‌ی بسیار نزدیک به هم که می‌توان آن را در اثر خطای اندازه‌گیری دانست، دو سری زمانی بعد از گذشت زمان اندکی به طور کلی از یکدیگر جدا شده و مسیرهای متفاوتی را پیموده‌اند.

بنابراین واپستگی شدید به شرایط اولیه را می‌توان یکی از ویژگی‌های سری زمانی آشوبی دانست. واپستگی به شرایط اولیه مشکلات قابل توجهی را برای محققان در این زمینه فراهم کرده است. اوّلین کسی که متوجه چنین ویژگی در سیستم‌های آشوبی شد ریاضیدان و منجم برجسته، هنری پوانکاره^۱ بود که در حال مطالعه‌ی سیستم‌های دینامیکی بود. او این پدیده را چنین توصیف می‌کند "ممکن است اختلاف اندکی در شرایط اولیه باعث تفاوت بسیار بزرگی در پدیده‌های نهایی شود. همچنین یک خطای کوچک در حالت قبلی، خطای بزرگی در حالت بعدی را بوجود می‌آورد". [۴]

^۱ Henri Poincare

-۲-۲-۱ برسی اثر حضور نمای لیاپانوف مثبت:

وابستگی بسیار شدید سیستم‌های آشوبی به شرایط اولیه را در نظریه‌ی آشوب توسط معیاری به نام نمای لیاپانوف مثبت معین می‌شود [۶]. نماهای لیاپانوف سیستم آشوبی لورنز در شکل (۲-۱) نشان داده شده است.

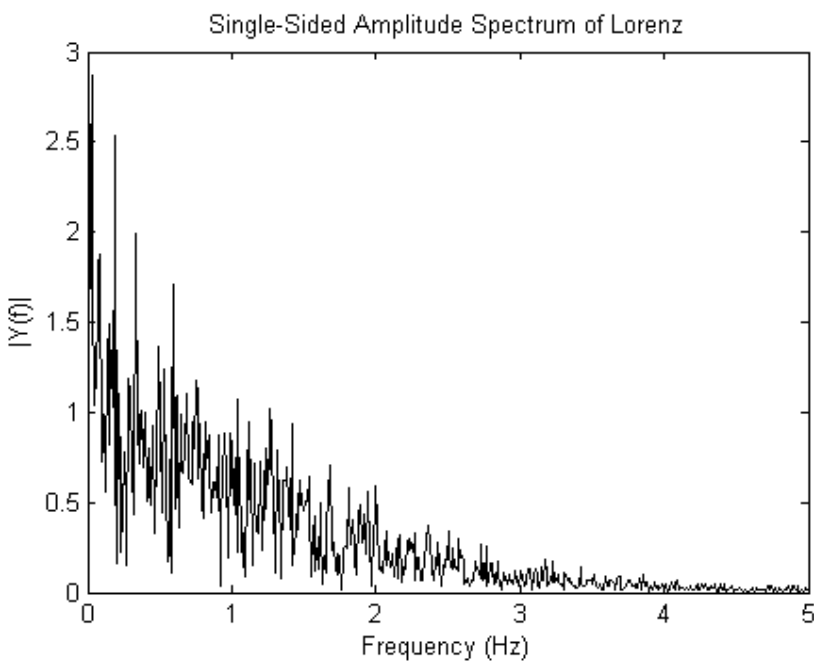


شکل ۲-۱: کلیه‌ی نماهای لیاپانوف مربوط به سیستم لورنز

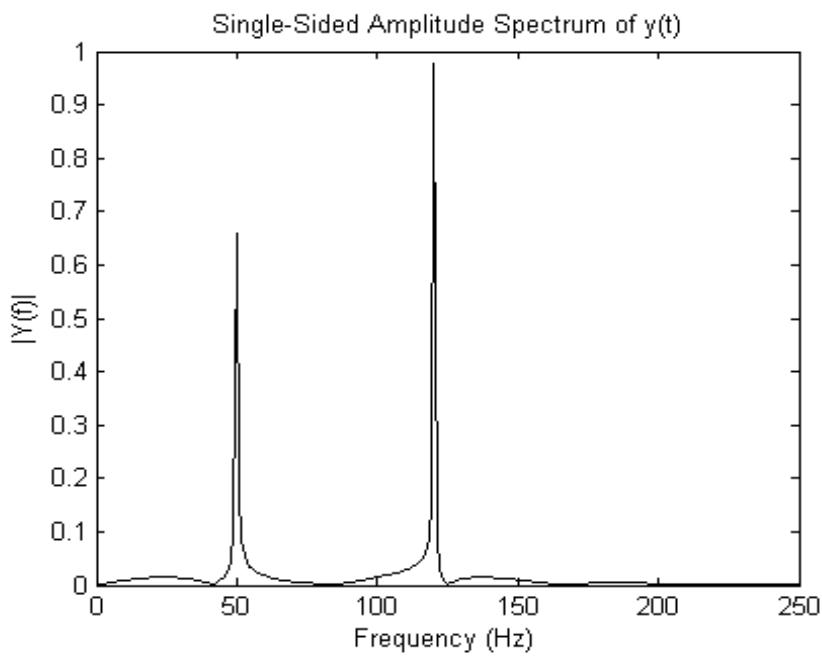
همانطور که در شکل (۲-۱) مشاهده شد از سه نمای لیاپانوف مربوط به سیستم آشوبی لورنز، یکی از نماهای لیاپانوف در تمام گام‌ها مثبت بوده که حاکی از آشوبی بودن سیستم مورد بررسی است. روش‌های گوناگونی برای محاسبه‌ی تمام نماهای لیاپانوف وجود دارند که برای رعایت اختصار و خلاصه‌گویی از پرداختن به آن‌ها صرفنظر شده است [۷].

-۱-۲-۱ تحلیل طیفی :

طیف شدت دوسری زمانی آشوبی و پریودیک در اشکال زیر نشان داده شده است.



شکل ۱-۳: طیف شدت متناظر با سری زمانی لورنز



شکل ۱-۴: طیف شدت مربوط تابع $y(t) = \sin(50\pi t) + \sin(120\pi t)$

طیف شدت سری زمانی لورنز در شکل (۱-۳) و تابع $y(t) = \sin(50\pi t) + \sin(120\pi t)$ در شکل (۱-۴) نشان داده شده است. با توجه به ماهیت آشوبی سری زمانی لورنز همانطور که انتظار می رفت، طیف آن گستردۀ و شبیه نویز بوده و فرکانس غالبی در آن مشاهده نمی شود اما در مورد تابع سینوسی، طیف فرکانسی بصورت سوزنی بوده و فرکانس‌های غالب در آن براحتی قابل تشخیص است.

۳-۱ پیش‌بینی سری‌های زمانی:

سقوط بازار سهام آمریکا در اکتبر سال ۱۹۸۷ و عوامل دیگر باعث شد که تحقیقات در مباحث مالی سمت و سوی تازه‌ای بیابد. نتایج حاصل از این تحقیقات در قالب سمینارها و سمپوزیوم‌های متعدد در کشورهای دارای سرمایه‌ی پیشرفته منتشر و اعتبار تئوری‌های دهه‌های ۱۹۶۰ تا ۱۹۸۰ را که مبتنی بر سیستم‌های خطی و توزیع نرمال بودند، مورد تردید قرار داد.

از آنجا که بازارهای سرمایه دارای نظم مشخصی نمی‌باشند، لذا استفاده از ریاضیات پیچیده در سیستم‌های غیرخطی و دینامیکی می‌تواند مدل‌هایی را ایجاد کند که نظریه‌های گذشته را منسخ سازد. نتایجی که تاکنون از این رهگذر بدست آمده است به امکان پیش‌بینی قیمت تحت شرایطی اذعان دارد [۸].

پیش‌بینی سری‌های زمانی عبارتند از پیش‌بینی رفتار سیستم در آینده، بر اساس اطلاعات حاصل از زمان حال و گذشته سیستم که کاربردهای فراوانی در اغلب زمینه‌های علمی از جمله علوم مهندسی، پزشکی، اقتصادی و ... دارد [۹ و ۱۰]. پیش‌بینی قیمت فولاد [۹] و همچنین پیش‌بینی قیمت سهام در بازار بورس [۱۰] را می‌توان به عنوان مثالهایی از کاربرد پیش‌بینی سری‌های زمانی نام برد. ماهیت آشوبی نوسانات قیمت‌ها در بازارهای سهام و عوامل دیگر سبب شد که از سال ۱۹۸۰ پیش‌بینی سری‌های زمانی آشوبی به یکی از موضوعات مورد علاقه‌ی محققان مبدل گردد [۱۱].

۴-۱ بازسازی فضای فاز

در پیش‌بینی سری‌های زمانی حالتی اتفاق می‌افتد که در آن‌ها معادلات سیستم در دسترس نبوده و یا این‌که به‌دست آوردن معادلات سیستم بسیار دشوار و یا غیر ممکن است. در چنین حالتی اطلاعات ما از سیستم مورد بررسی تنها محدود به یک سری زمانی تجربی است که از خروجی مشاهده شده‌ی سیستم به‌دست می‌آید. سری زمانی ناشی از لکه‌های خورشیدی را می‌توان به عنوان نمونه‌ای از چنین سری‌هایی برشمرد. یک سری زمانی تجربی از تمام متغیرهای دینامیکی موجود تأثیر پذیرفته و بنابراین تاریخچه‌ی نسبتاً کاملی از اطلاعات را دربر دارد [۴]. در سال ۱۹۸۰ پاکارد^۱ و همکاران [۱۲] روشی ارائه کردند که در آن بدون مراجعه به سایر متغیرهای فیزیکی و تنها با استفاده از یک سری زمانی امکان حصول به دینامیک مسئله را فراهم می‌ساخت. این روش در سال ۱۹۸۱ با مطرح شدن مبانی ریاضی دقیقی برای آن به توسط تیکن^۲ و مانه^۳ به تکامل رسید [۱۳ و ۱۴]. بر اساس این روش در بازسازی رباينده از یک سری زمانی فقط نیاز به تولید متغیرهای اضافی است. برای بعضی از سیستم‌های تجربی با درجه‌ی کم آزادی مؤثر می‌توان با تعریف یک فضای فاز با بعد کم دینامیک را در یک ساختار هندسی درون آن فضا توصیف کرد. این مجموعه‌ی هندسی جاسازی شده جاذب بازسازی شده نام دارد و معمولاً از لحاظ هندسی، جاذب بازسازی شده با جاذب اصلی هم‌ارز است. همچنین ویژگی‌های آشوبی رباينده اصلی و بازسازی شده همانند نمای لیاپانوف، در صورت استفاده از پارامترهای صحیح بازسازی تقریباً

¹ Pakard

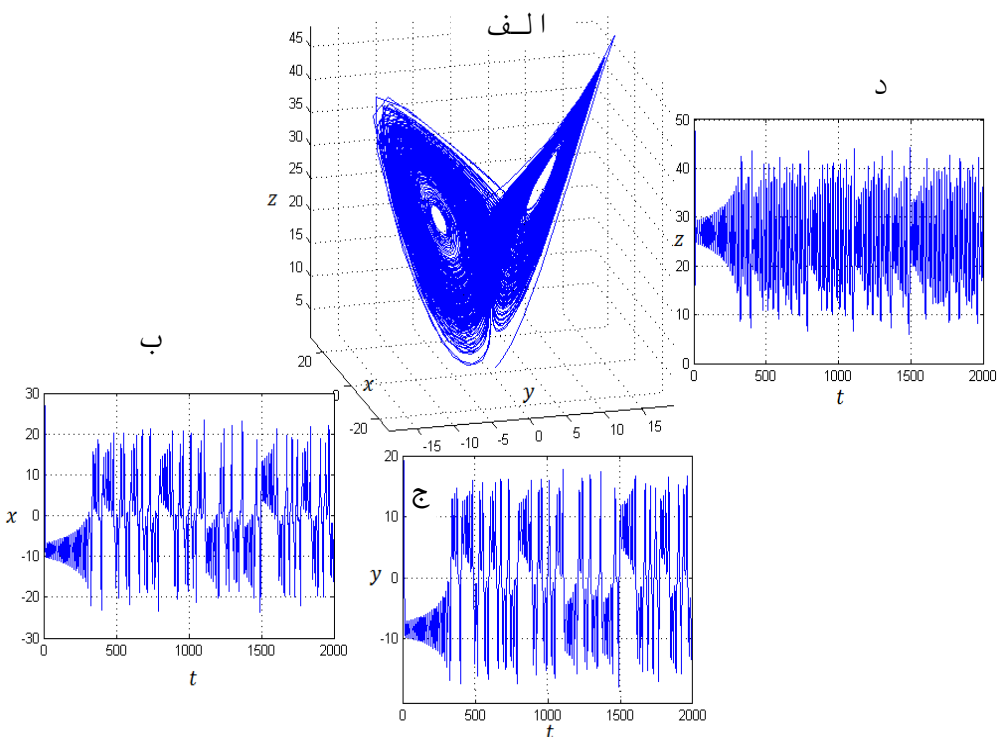
² Taken

³ Mane

یکسان هستند. هنگام مواجهه با یک سری زمانی یا دینامیک ناشناخته، بعد فضای فاز معمولاً از پیش معلوم نیست. برای این که رابینده قابل بازسازی باشد، بعد باید نسبتاً بزرگ بوده و برای انتخاب محورهای مختصات نیز باید دنبال اطلاعات نسبتاً مستقل بود. استفاده از مشتق و همچنین تأخیر زمانی می‌تواند به عنوان دو گزینه‌ی مناسب برای انتخاب محورهای مختصات در فضای بازسازی شده محسوب شوند. اما به دلیل حضور نویز در سری‌های زمانی تجربی تأخیر زمانی مناسب‌تر به نظر می‌رسد. برای مثال در سری زمانی $X(t)$ بردار داده در فضای فاز بازسازی شده به صورت زیر نشان داده می‌شود که در آن m بعد جاسازی و T تأخیر زمانی هستند.

$$\{x(t), x(t-T), x(t-2T), \dots x(t-mT)\} \quad (2-1)$$

بمنظور روشن‌تر شدن موضوع، بازسازی فضای فاز، در غالب یک مثال توضیح داده می‌شود. در شکل زیر جاذب لورنزو در فضای فاز سه بعدی نشان داده شده است. همانطور که می‌دانیم می‌توان مولفه‌ی هریک از محورهای مختصات را نیز بر حسب مولفه‌ی زمانی نشان داد که این مولفه در آرایش فضای فاز سه بعدی مذکوف می‌باشد.



شکل ۱-۵: جاذب آشوبی لورنزو و مولفه‌های آن بر حسب زمان-الف: جاذب لورنزو ، ب : مولفه X بر حسب زمان، مولفه y بر حسب زمان، د: مولفه Z بر حسب زمان

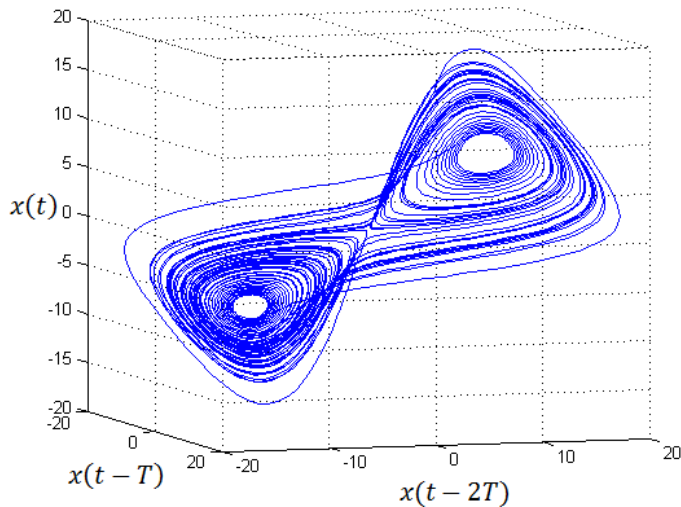
اکنون شرایطی را در نظر بگیرید که در آن تنها یکی از مولفه‌های زمانی در دسترس باشند و بخواهیم جاذب سه بعدی را تنها با استفاده از آن بازسازی نماییم. بدیهی است که در چنین شرایطی تنها نیاز به تولید متغیرهای اضافی داریم. اما مسائلی بعد از احساس نیاز به تولید متغیرهای اضافی مطرح می‌شود عبارتند از :

- ۱ - چگونگی تولید متغیرهای اضافی

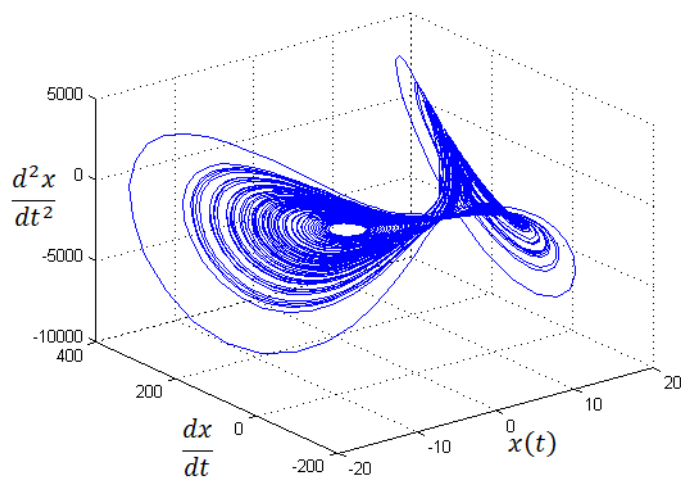
۲- تعداد متغیر های اضافی

۳- استقلال متغیر ها نسبت به هم

دو رهیافت موثر در زمینه تولید متغیرهای اضافی که دارای استقلال خطی نسبت به هم نیز باشند عبارتند از : استفاده از مشتق و استفاده از تاخیر. البته با توجه به عامل نویز که در سری های زمانی تجربی ، استفاده از روش های مبتنی بر تاخیر مناسب تر به نظر می رسد.



شکل ۱-۶: بازسازی جاذب آشوبی لورنر توسط مختصات تاخیری



شکل ۱-۷: بازسازی جاذب آشوبی لورنر توسط مختصات مشتقی

با توجه به کران ها در جاذب اصلی و دو نمونه جاذب بازسازی شده، که در شکل های ۱-۶ و ۱-۷ نشان داده شده است، مشاهده می شود که استفاده از مختصات تاخیر گزینه بهتری محسوب می شود. همانطور که عنوان شد، نظریه بازسازی فضای فاز ، تنها وجود بعد و تاخیر مناسب را به منظور بازسازی فضای فاز تضمین می کند و از ارائه روشهای مدون که برای تمام سری های زمانی بعد و تاخیر مناسب

بیابد، ناتوان است. لذا از سال ۱۹۸۱ روش‌های گوناگونی برای تعیین بعد جاسازی و تأخیر زمانی پیش-نهاد شده‌اند که در بخش‌های بعد به تفضیل به آن پرداخته می‌شود.

۱-۴-۱ تأخیر زمانی

انتخاب تأخیر زمانی مناسب در بازسازی رباينده از اهمیت بسزایی برخوردار است. اگر T بسیار کوچک باشد مختصات مربوط به نقاط در فضای فاز بازسازی شده تقریباً در امتداد قطر قرار می‌گیرند و در این-صورت بازسازی بی‌فایده است. به عبارت دیگر در چنین حالتی فاصله‌ی نقاط نمونه‌برداری شده از سری زمانی (t)^۱ w ، به اندازه‌ای کم است که نمی‌توانند اطلاعاتی راجع به دینامیک مسئله تولید نمایند. از طرف دیگر انتخاب مقدار بزرگ T نیز به نوبه‌ی خود مشکلات فراوانی را تولید می‌کند. می‌دانیم که همبستگی میان حالت‌های دینامیکی در یک سیستم آشوبناک برای مدت کوتاهی دوام می‌آورد که عمر آن به نمای لیاپانوف مثبت بستگی دارد. لذا با انتخاب مقدار بزرگ برای T ، کشیدگی‌ها^۲ و تاخورگی‌ها^۳ی فراوانی در سیستم اتفاق می‌افتد که منجر به هیچ رابطه‌ی منطقی میان داده‌های مورد استفاده (برای تشکیل فضای فاز) نمی‌شود. عبارت دیگر انتخاب بزرگ T سبب ایجاد ناهمبستگی میان نقاط در فضای فازبازسازی شده خواهد شد.

روش‌های گوناگونی برای انتخاب تأخیر زمانی در مراجع ذکر شده است که در ادامه به چند نمونه از آن‌ها اشاره خواهیم کرد.

۱ - در بررسی سیستم‌های آشوبی شرایطی اتفاق می‌افتد که در آن سری‌های زمانی حاصل، تقریباً دوره‌ای به نظر می‌رسند. مشاهده‌ی چنین حالتی خود مبتنی بر حضور یک دوره‌ی تناوب غالب در سری زمانی مورد بررسی است. در چنین حالتی مقدار قابل مقایسه اماً تا اندازه‌ای کوچکتر از دوره‌ی تناوب تقریبی مشاهده شده را به عنوان مقدار تأخیر زمانی انتخاب می‌کنند [۱۵].

۲ - اگر همانند روش اوّل فرکانس غالی وجود نداشته باشد، از روش پیچیده‌تری برای انتخاب مقدار تأخیر زمانی استفاده می‌شود. یک روش مفید در این حال استفاده از همبستگی میان داده‌های متوالی بر حسب فاصله‌ی زمانی بین آن‌ها است. اگر تابع همبستگی بصورت زیر تعریف شود:

$$f(T) = \frac{\langle w(t) \cdot w(t+T) \rangle_t}{\langle w(t)^2 \rangle_t} \quad (3-1)$$

که در آن $t > T$ میانگین تمام نقطه‌های یک سری زمانی را نشان می‌دهد. اگر نمودار تغییرات ($f(T)$) بر حسب T رسم شود، T_0 که در آن اوّلین عبور ($f(T)$ از صفر رخ می‌دهد، به عنوان معیاری برای انتخاب تأخیر استفاده می‌شود [۱۶].

¹ Stretching

² Folding

۳- روش دیگری برای انتخاب مقدار تأخیر در سال ۱۹۸۶ توسط فریز^۱ و سوینی^۲ مطرح شده که در آن از اطلاعات دوجانبه^۳ مطابق رابطه‌ی زیر استفاده شده است.

$$I(T) = \sum_t p(w(t), w(t+T)). \log \frac{p(w(t).w(t+T))}{p(w(t)).p(w(t+T))} \quad (4-1)$$

که در رابطه‌ی قبل $p(w(t+T))$ توزیع احتمال جداگانه‌ی نقطه‌های داده‌ی مجاور $w(t+T)$ و $p(w(t).w(t+T))$ توزیع احتمال مشترک نقاط داده‌ی مجاور است. لازم به ذکر است که اطلاعات دوجانبه معیاری از این احتمال است که نقطه‌های داده‌ی مجاور $w(t)$ و $w(t+T)$ به لحاظ آماری مستقل نباشند [۱۷].

۴- از آنجا که قاعده‌ی کلی برای انتخاب T در تمام موارد وجود ندارد گاهی T را طوری انتخاب می‌کنند که به نتیجه‌ی رضایت‌بخشی، بسته به کاربرد مورد نظر، برسند [۱۸].

-۴-۲- بعد جاسازی

در بازسازی یک رایانه‌ی از یک سری زمانی تجربی با دینامیک ناشناخته، بعد رایانه‌ی نامشخص است. برای نمایش کامل دینامیک، بازسازی باید در فضایی که بعد آن به اندازه‌ی کافی بزرگ است صورت پذیرد. بنا بر قضیه‌ی تیکن، هرگاه بعد فراکتالی جاذب اصلی مولّد سری زمانی d و بعد جاسازی m باشد آن گاه برقراری شرایط $1 < m < 2d + 1$ وضوح کامل جاذب را با تمام ویژگی‌ها در فضای فاز بازسازی شده تضمین می‌کند. البته اشکالاتی نیز به قضیه‌ی مورد نظر وارد است که عبارتند از:

الف- در شرایطی که با سری‌های زمانی تجربی مواجه هستیم بعد جاذب اصلی در دسترس نیست.

ب- در سال ۱۹۹۳ دینگ و همکاران نشان دادند که در محاسبه‌ی بعد جاسازی برای یک سری زمانی بلند با نویز کم کافی است که بعد فضای فاز بزرگتر از بعد رایانه‌ی باشد و لذا نیازی برقراری شرایط سخت تیکن نیست [۱۹].

روش‌های گوناگونی برای تعیین مقدار بعد جاسازی در منابع گوناگون معرفی شده‌اند که در زیر به بعضی از آن‌ها اشاره می‌کنیم.

۱- در این روش ابتدا سری زمانی مورد بررسی با N دایره به شعاع r کاملاً پوشانده می‌شود آن گاه بعد فراکتالی توسط رابطه‌ی زیر محاسبه می‌شود.

$$d = \lim_{r \rightarrow 0} \frac{\log(N(L))}{\log(\frac{1}{2r})} \quad (5-1)$$

که در رابطه‌ی قبل $N(L)$ تعداد دایره‌های لازم به شعاع r برای پوشاندن سری زمانی مورد بررسی است. بنا بر مطالب عنوان شده در قبل کافی است بعد جاسازی از d بزرگتر باشد [۱۹].

¹ Fraser

² Swinney

³ Mutual Information